

Boletín
de Alerta
Climático



BAC

424

Enero 2026

ERFEN

Comité Científico Regional
para el Estudio del
Fenómeno El Niño

CPPS

Comisión Permanente
del Pacífico Sur

IDEAM-DIMAR/CCCP

Colombia

INOCAR/ INAMHI

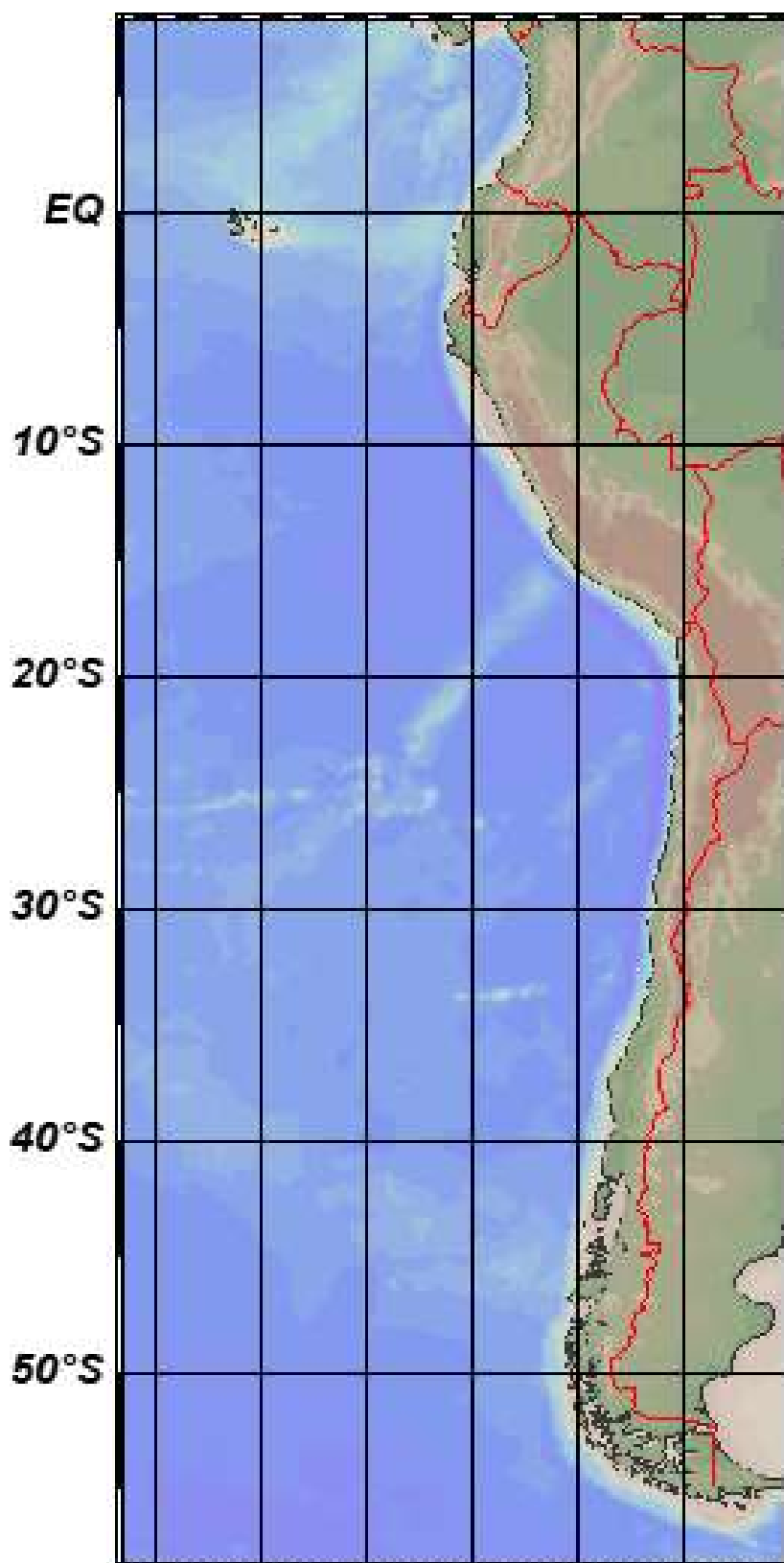
Ecuador

DIHIDRONAV

Perú

SHOA-DMC

Chile



12 febrero 2026

Contenido

RESUMEN	3
ABSTRACT.....	4
I. CONDICIONES OCEANOGRÁFICAS Y ATMOSFÉRICAS	5
1.1. PACÍFICO TROPICAL	5
1.1.1. PRESIÓN ATMOSFÉRICA.....	5
1.1.2. VIENTOS.....	5
1.1.3. PRECIPITACIÓN	6
1.1.4. TEMPERATURA SUPERFICIAL DEL MAR	6
1.2. PACÍFICO ECUATORIAL.....	7
1.2.1. ESFUERZO DEL VIENTO – ISOTERMA DE 20 °C – NIVEL DEL MAR – TEMPERATURA SUPERFICIAL DEL MAR.....	7
1.2.2. TEMPERATURA SUPERFICIAL DEL MAR EN REGIONES NIÑO	7
1.2.3. TEMPERATURA SUB SUPERFICIAL.....	8
1.2.4. ÍNDICES	9
1.3. REGIONAL	10
1.3.1. VIENTOS.....	10
1.3.2. PRECIPITACIÓN	11
1.3.3. TEMPERATURA DEL MAR.....	12
1.3.4. SALINIDAD DEL MAR.....	16
1.3.5. NIVEL DEL MAR	17
1.3.6. TEMPERATURA DEL AIRE	18
II. MODELOS NUMÉRICOS DE PRONÓSTICO CLIMÁTICO.....	18
III. PERSPECTIVAS CLIMÁTICAS	21
3.1. Colombia.....	21
3.2. Ecuador.....	21
3.3. Perú.....	21
3.4. Chile	21

RESUMEN

En el presente boletín se exponen las condiciones oceanográficas y meteorológicas promedio de enero 2026, en el océano Pacífico, entre 10°N y 40°S, que incluye el mar frente a las costas de Colombia, Ecuador, Perú y Chile. La información presentada hace énfasis en la relación de la variabilidad océano-atmósfera con la evolución de condiciones actuales asociado a las fases de EL Niño-Oscilación del Sur (ENOS), para los siguientes tres meses.

La información oceanográfica y atmosférica observada, asimismo los índices asociados a esta información muestran un proceso de transición de un escenario ligeramente frío a normal a nivel superficial, es decir cerca de los umbrales de la fase neutro del ENOS. Sin embargo, parte de esta información muestran energía calórica que se propaga hacia la costa de Sudamérica, a nivel sub superficial del Pacífico ecuatorial. La información observada en enero dentro de la región del Pacífico Sudeste configuró en promedio un escenario entre normal a ligeramente cálido, a pesar de registrar anomalías negativas de temperatura sub superficial, en bajas latitudes.

Por otro lado, los modelos climáticos coinciden en el posible desarrollo de un evento cálido en el Pacífico Sur, dentro de la franja ecuatorial y Pacífico Suroriental.

ABSTRACT

In the present bulletin, the average oceanographic and meteorological conditions for January 2026 are described for the Pacific Ocean between 10°N and 40°S, including the maritime areas off the coasts of Colombia, Ecuador, Peru, and Chile. The information presented emphasizes the ocean–atmosphere variability and its relationship with the evolution of current conditions associated with the phases of the El Niño–Southern Oscillation (ENSO) over the next three months.

The observed oceanic and atmospheric data, together with the associated indices, indicate a transition process from slightly cold to near-normal surface conditions, i.e., close to the thresholds of the ENSO-neutral phase. However, part of the subsurface observations reveals the presence of heat content propagating toward the South American coast within the equatorial Pacific. During January, the observed conditions across the Southeast Pacific region configured, on average, a scenario ranging from near-normal to slightly warm, despite the presence of negative subsurface temperature anomalies at low latitudes.

On the other hand, climate model outputs consistently suggest the potential development of a warm event in the South Pacific, particularly within the equatorial belt and the southeastern Pacific region.

I. CONDICIONES OCEANOGRÁFICAS Y ATMOSFÉRICAS

1.1. PACÍFICO TROPICAL

1.1.1. PRESIÓN ATMOSFÉRICA

El campo de presión muestra al Anticiclón del Pacífico Sur (APS) figurado zonalmente y relativamente cerca de la costa Sudamericana, con un núcleo de 1020 hPa en promedio, ubicado en 110°W y 30°S (Figura 1a). En el campo de anomalías, los mayores valores negativos se ubicaron en el Pacífico Suroccidental y los positivos al sur de Australia y al sur de Sudamérica (Figura 1b)

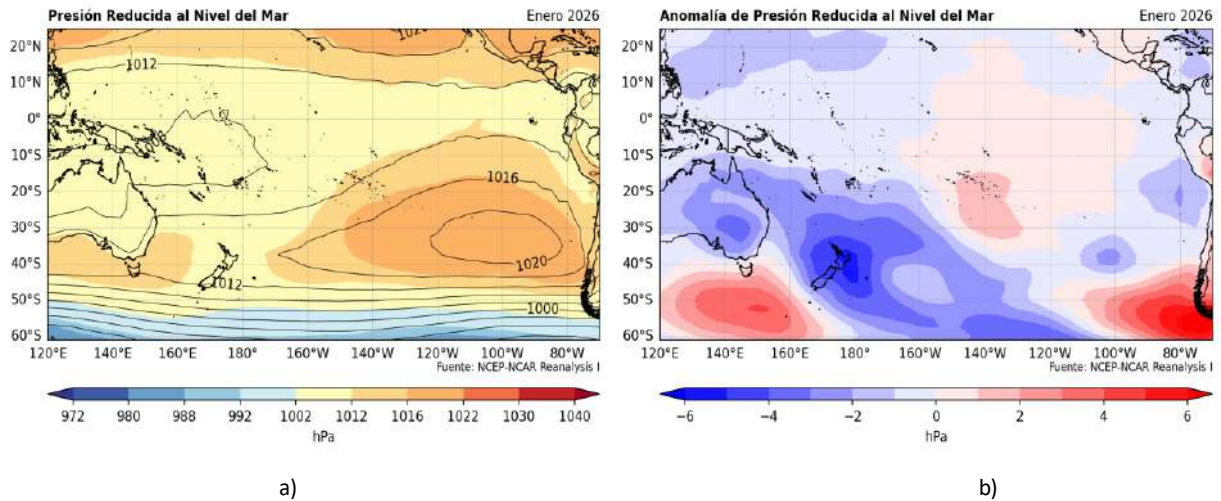


Figura 1. Presión atmosférica a nivel del mar a) Promedio de enero (shape) y climatología (Líneas negras), b) Anomalía de enero 2026, climatología 1991-2020. Fuente: NCEP – NCAR Reanalysis.

1.1.2. VIENTOS

En el Pacífico ecuatorial central predominaron vientos del este, destacando anomalías de hasta 2 m/s, entre 180° y 120°W; en tanto que, en el oriental se mantuvo la confluencia de los vientos alisios asociados a la presencia del chorro de Tehuantepec, Papagayo y Panamá (Figura 2).

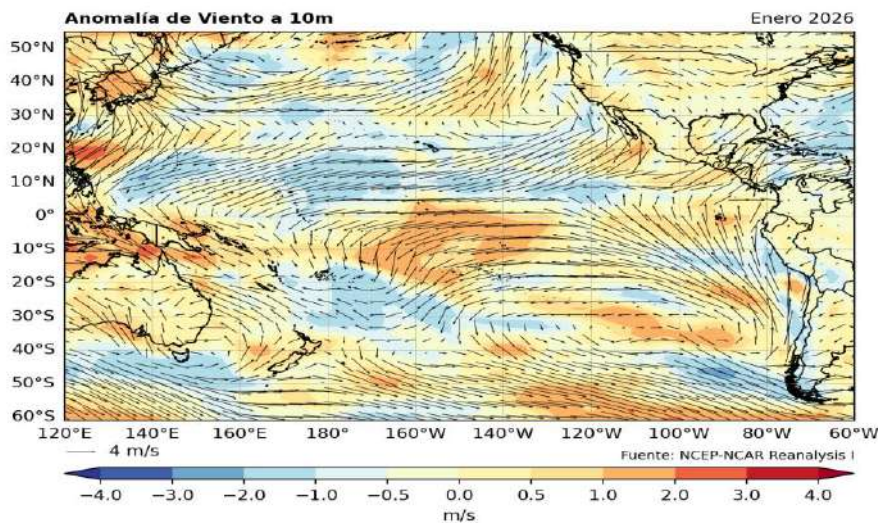


Figura 2. Dirección del viento (flechas) y anomalía de la velocidad (colores), enero 2026. Climatología 1991-2020. Fuente: NCEP–NCAR Reanalysis.

1.1.3. PRECIPITACIÓN

Según el análisis de precipitación acumulada mensual, la Zona de Convergencia Intertropical (ZCIT) con dos bandas estuvo ligeramente debilitada y al norte de su posición climatológica. En la región oriental del Pacífico ecuatorial la banda se posicionó entre 0° y 10°N, incursionando en el continente y favoreciendo acumulados de precipitación mayores a 1000 mm/mes en Colombia. Mientras tanto, en la región tropical entre 120°E y 140°W se presentó la Zona de Convergencia del Pacífico Sur (ZCPS) fortalecida, concentrando acumulados de precipitación con anomalías mayores a 500 mm/mes (Figura 3a y 3b).

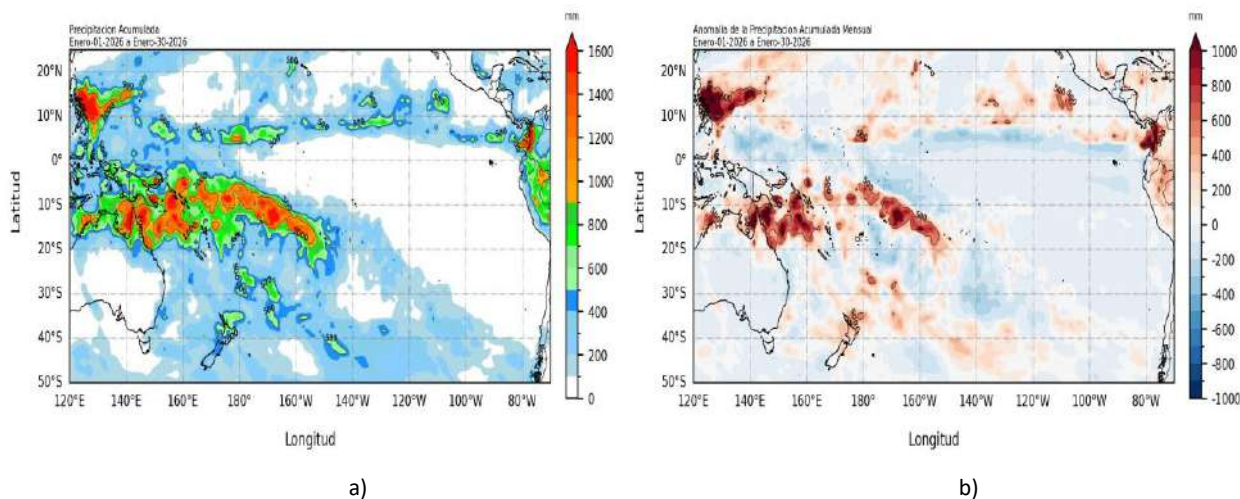


Figura 3. a) Precipitación acumulada y b) anomalía de la precipitación acumulada de enero 2026. Fuente: GPM_IMERG.

1.1.4. TEMPERATURA SUPERFICIAL DEL MAR

El Pacífico ecuatorial con temperaturas de 28°C a 30°C y de 24°C a 28°C en las regiones occidental y central-oriental respectivamente, manifestó un escenario aun ligeramente frío en esta última. Por otro lado, en el Pacífico Suroriental la temperatura continuó en aumento hasta 2°C entre 0°S y 30°S (Figura 4a), manifestando en promedio un escenario normal entre 05° S y 15° S; en tanto que, hacia el sur un escenario cálido con anomalías hasta 2°C (Figura 4b).

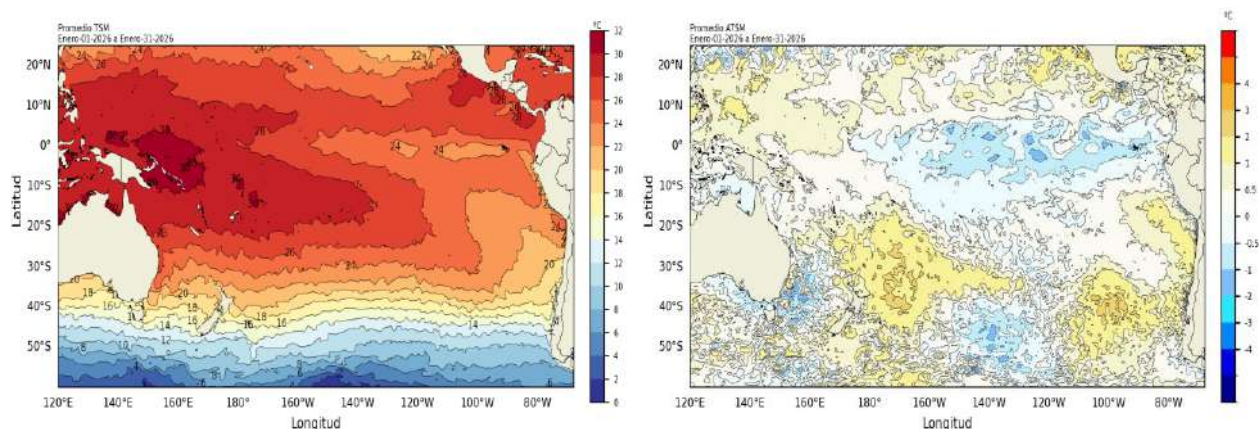


Figura 4. a) Temperatura superficial del mar y b) Anomalía de temperatura superficial del mar en el Pacífico (30°N – 60°S), enero 2026. Climatología 1991-2020. Fuente: OSTIA.

1.2. PACÍFICO ECUATORIAL

1.2.1. ESFUERZO DEL VIENTO – ISOTERMA DE 20 °C – NIVEL DEL MAR – TEMPERATURA SUPERFICIAL DEL MAR

El esfuerzo de viento predominó con anomalías negativas (del este) entre los 180° y 135°W favoreció a la disminución de la profundidad de la isoterma de 20°C, en poca magnitud; lo que se asocia a la generación de ondas Kelvin frías; por otro lado, al este de 180° predominaron esfuerzos de viento con anomalías positivas (del oeste) y una isoterma (20 °C) profundizada entre 10 m y 20 m (Figura 5a y 5b). En relación al nivel del mar, las anomalías aumentaron ligeramente respecto al mes anterior, en las regiones central y oriental (Figura 5c); en tanto que, la temperatura del mar mostró un escenario cerca de lo normal, con pequeñas anomalías negativas y positivas en el Pacífico ecuatorial central y oriental, respectivamente (Figura 5d).

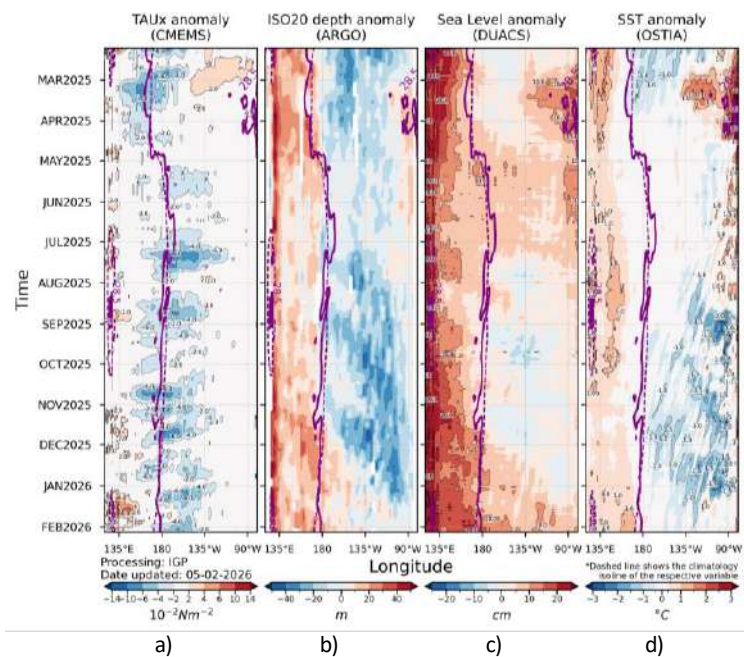


Figura 5. a) Anomalía de esfuerzo del viento zonal b) profundidad de isoterma de 20°C, c) NM, y d) TSM. Promedio 02°N-02°S entre febrero 2025 y enero 2026. Fuente: a) ASCAT/ b) ARGO/ c) DUACS/ d) OSTIA. Gráfica: IGP.

1.2.2. TEMPERATURA SUPERFICIAL DEL MAR EN REGIONES NIÑO

Las anomalías semanales de la TSM continuaron con valores negativos en Niño 3, Niño 3.4, pero de menor magnitud respecto a semanas anteriores; en tanto que, en Niño 4 las anomalías negativas cambiaron a positivas, con valores de pequeña magnitud (Figura 6). En Niño 3.4 la anomalía mensual de enero 2026 fue de -0.60°C, lo que conllevó que el ONI de diciembre 2025 alcance el valor de -0.6°C, es decir de condición fría (Tabla 1).

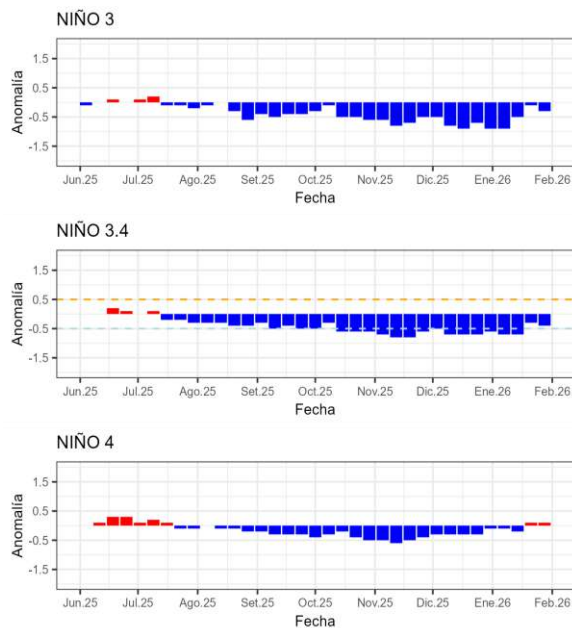


Tabla N° 1. Temperatura superficial del mar y su anomalía mensual e índice oceánico El Niño (ONI). Fuente ERSSTv5.

Mes	Niño 3.4		ONI
	TSM	-ATSM Mensual	
Jul 25	27.15	-0.14	-0.1
Ago 25	26.49	-0.36	-0.3
Sep 25	26.25	-0.47	-0.4
Oct 25	26.22	-0.50	-0.5
Nov 25	26.01	-0.70	-0.6
Dic 25	25.92	-0.67	-0.6
Ene 26	25.94	-0.60	-

Figura 6. Anomalías semanales de la TSM por regiones Niño. Fuente OISST.

1.2.3. TEMPERATURA SUB SUPERFICIAL

En la región occidental, por debajo de los 80 m de profundidad, el núcleo de anomalías de +3°C identificada en diciembre se fortaleció gradualmente hasta +5 °C, continuando su propagación hacia el este hasta llegar con anomalías de +1 °C en la región oriental, reemplazando las anomalías negativas que se manifestaron hasta la segunda semana de enero (Figura 7).

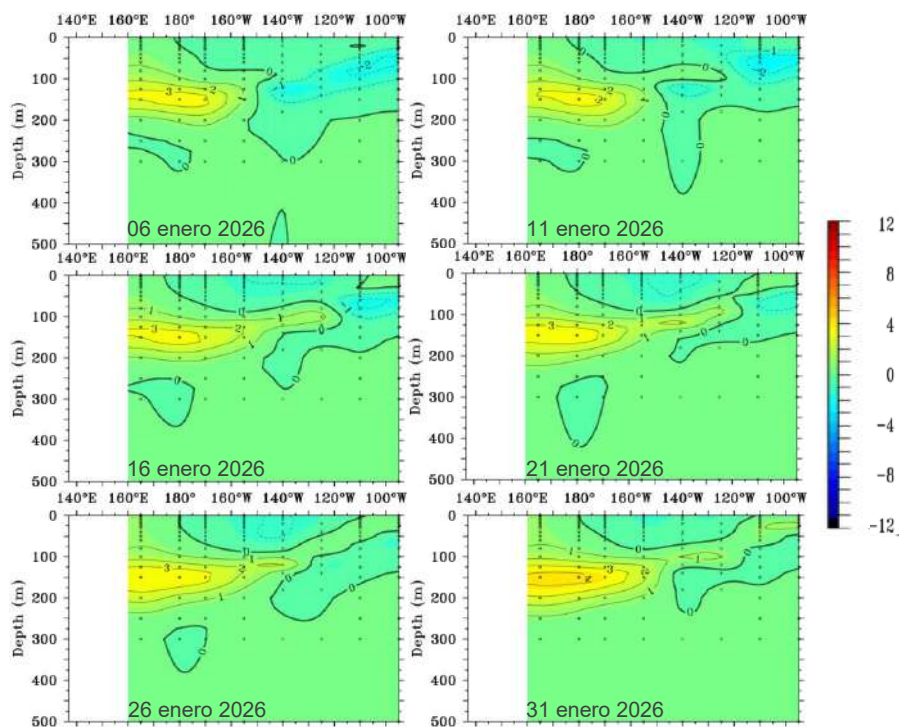


Figura 7. Anomalía de temperatura sub superficial (°C) en el Pacífico ecuatorial (02°N - 02°S), promedio de cinco días, finalizando los días 06, 11, 16, 21, 26 y 31 de enero 2026. Fuente: TAO/TRITON, PMEL/NOAA.

1.2.4. ÍNDICES

El ONI continúa indicando un escenario frío débil (-0.6°C), sin desarrollarse la Niña (Figura 8a); asimismo, el ICEN muestra la continuidad con valores negativos (-0.51), pero manteniéndose dentro de un escenario de condiciones neutras (Figura 8b). El SOI con 1.1 sugiere vientos fortalecidos alisos en el Pacífico ecuatorial y un acoplamiento océano atmósfera de condiciones frías (Figura 8c). El OLR con anomalías positivas, muestra la convección suprimida sobre el Pacífico ecuatorial central (figura 8d). El PDO permaneció negativo, aunque con tendencia a debilitarse, todavía manteniendo favorable para las condiciones frías a nivel tropical (Figura 8e). Finalmente, el contenido de calor sub superficial mostró una evolución importante, alcanzando valores positivos para enero (Figura 8f), mostrando la acumulación y propagación de energía del occidente hacia el oriente.

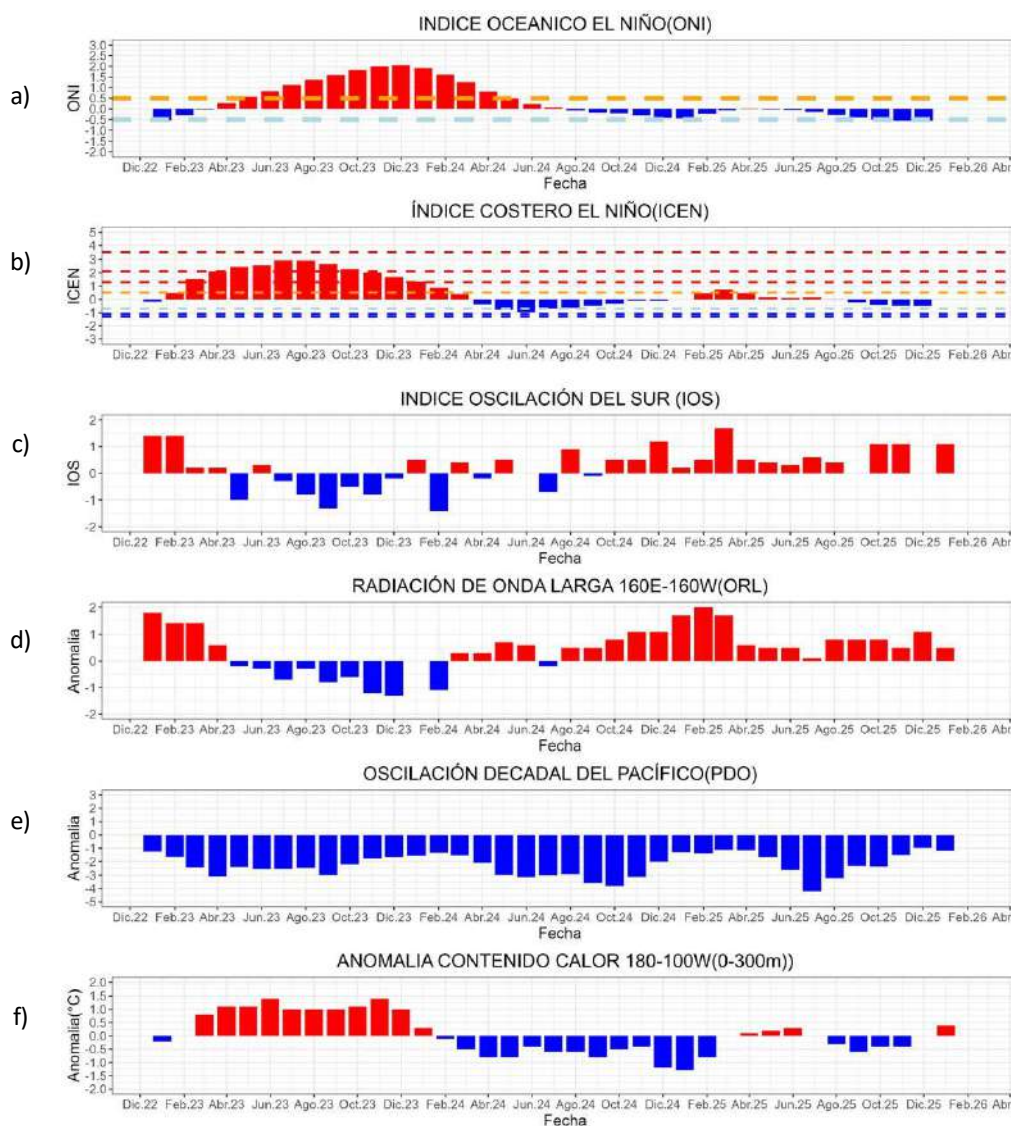


Figura 8. Índices climáticos a) ONI, b) ICEN, c) IOS, d) OLR, e) PDO y f) anomalía del contenido de calor. Climatología 1991- 2020. Fuente: NOAA, NCEI.

1.3. REGIONAL

1.3.1. VIENTOS

Frente de la costa oeste de Sudamérica predominaron vientos de hasta 6 m/s, con dirección suroeste frente de Colombia y Ecuador, del sureste frente de Perú y del sur frente de la zona norte de Chile. Vientos del sur en el rango de 4 m/s a 8 m/s se observaron frente a la zona centro de Chile, y vientos del oeste y noroeste en el rango de 8 m/s a 11 m/s en la zona sur de Chile (Figura 9a).

En toda la zona oceánica se intensificaron las anomalías positivas de velocidad de viento, destacando anomalías del suroeste de hasta 3 m/s frente de Colombia y Ecuador, y anomalías de hasta 5 m/s entre 25° S y 60° S, asociados a la configuración zonal del APS; sin embargo, sólo en la zona de litoral de Perú se observó anomalías negativas de velocidad de hasta -1 m/s (Figura 9b).

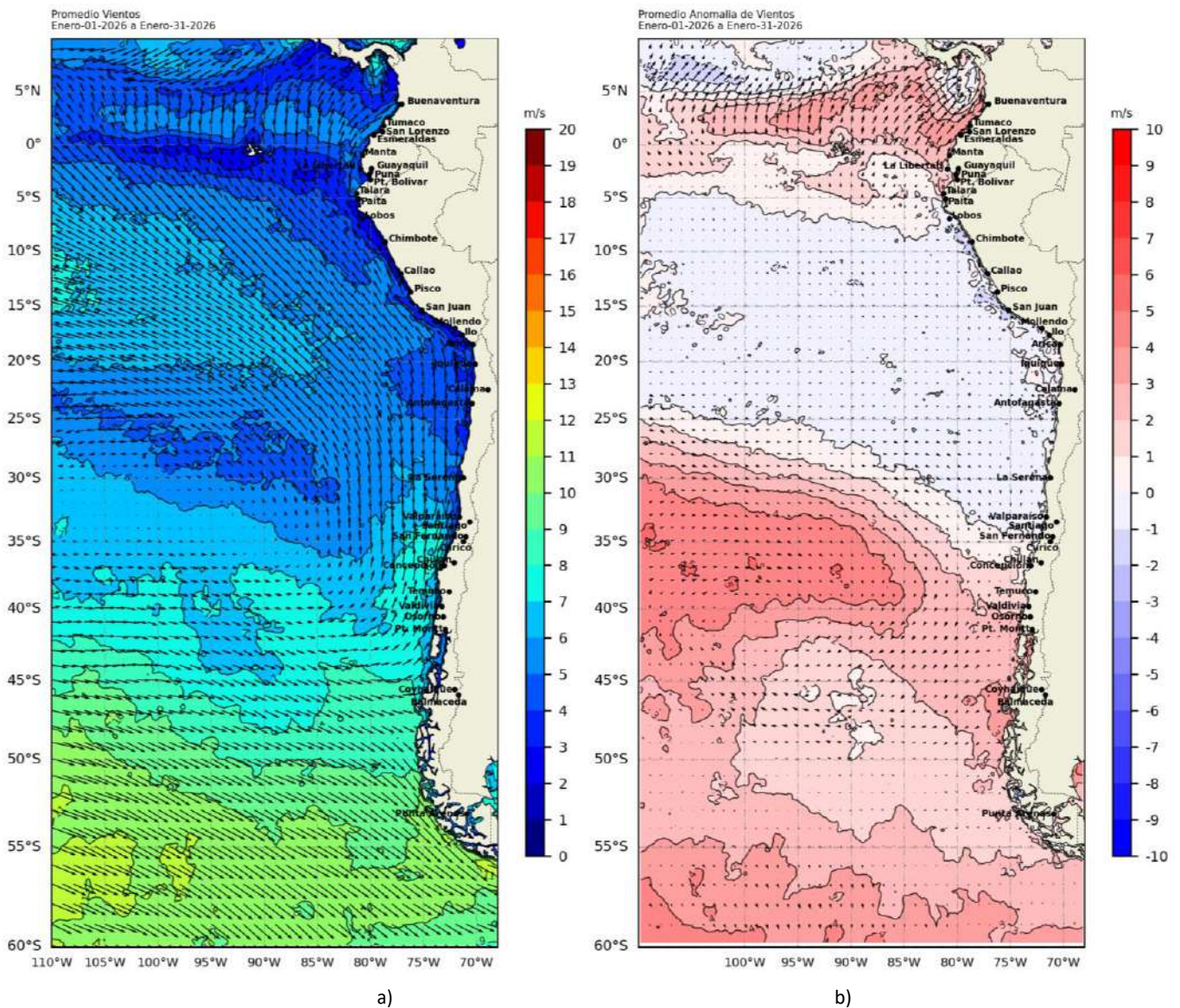


Figura 9. Carta de a) Viento y b) Anomalia de viento a 10m frente a la costa oeste de Sudamérica, enero 2026. Climatología 1991-2020. Fuente: NOAA CoastWatch, NCEI.

1.3.2. PRECIPITACIÓN

En Colombia, las estaciones de Buenaventura y Bahía Solano superaron su climatología de precipitación, presentando acumulados mensuales entre 360 mm/mes y 640 mm/mes (Figura 10a). En Chile, las estaciones ubicadas al norte y centro del país han presentado superávit de precipitaciones, en contraste con el déficit del mes anterior, mientras que en el resto de estaciones se mantuvieron déficits de hasta 100% de precipitación (Figura 10b). En Perú predominaron anomalías positivas de precipitación en todas las estaciones, a excepción de aquellas posicionadas en la costa norte del país (Figura 10c).

En cuanto a la variación espacial en las estaciones costeras de la región, se observó la ausencia de precipitaciones para el mes de enero, a excepción la zona de Ecuador, donde se registró acumulados entre 50 mm/día y 150 mm/mes (Figura 10d).

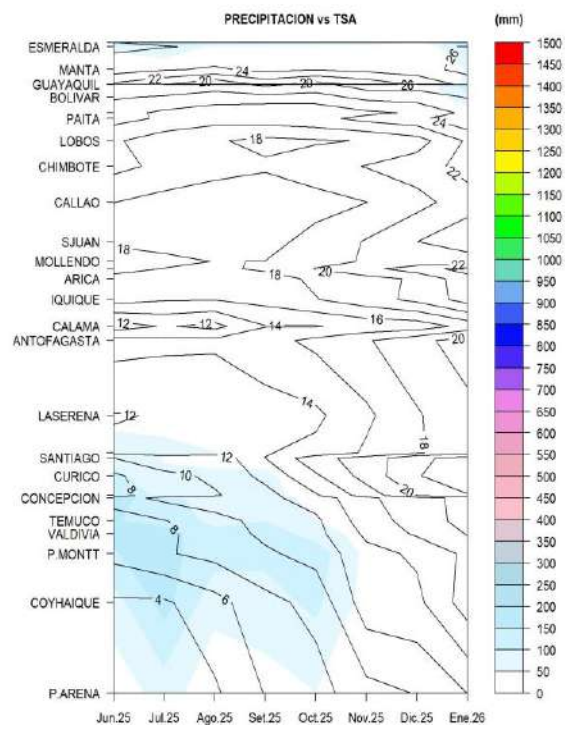
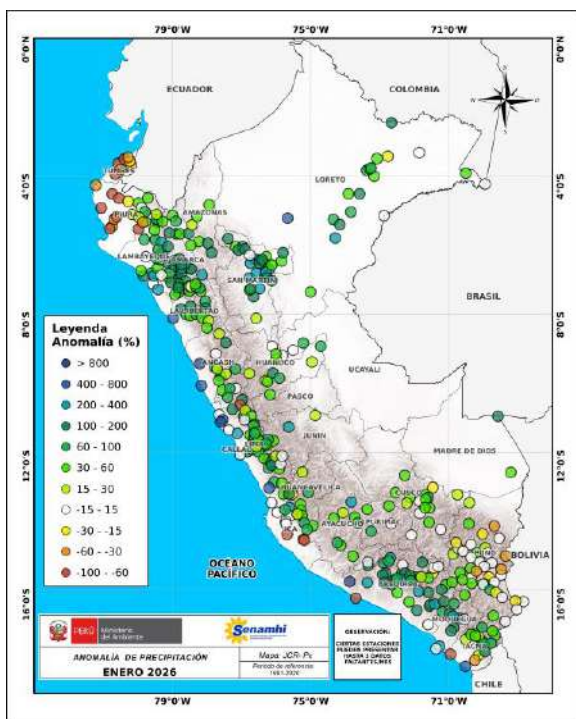
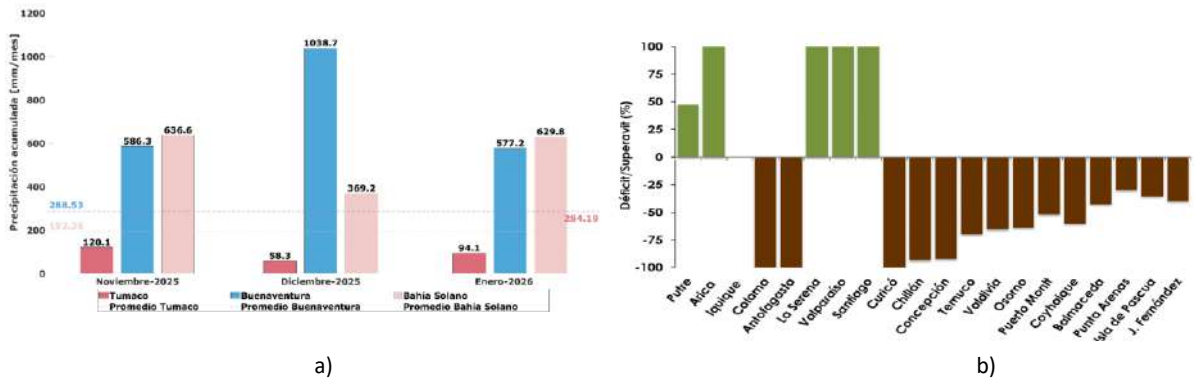


Figura 10. a) Precipitación acumulada de enero en Colombia, b) Anomalía de precipitación acumulada de enero en Chile, c) Mapa espacial de anomalía de la precipitación promedio de enero en Perú y d) Hovmöller de la precipitación acumulada (colores) y temperatura del aire (contornos) con datos de estaciones costeras de la región, periodo junio 2025 a enero 2026. Fuente CCCP-Colombia, INOCAR-Ecuador, SENAMHI-Perú y DIHIDRONAV-Perú, DMC-Chile.

1.3.3. TEMPERATURA DEL MAR

La temperatura incrementó en toda la región; en latitudes positivas predominaron de 26°C a 28°C alcanzando valores mayores de 26°C. En latitudes positivas predominaron espacialmente temperaturas de 22°C a 24°C; al sur de los 35°S el gradiente térmico horizontal es mayor, disminuyendo de 20°C a 8°C, cerca de Punta Arenas – Chile (Figura 11a). Los escenarios desarrollados fueron de normal en el norte de la región hasta los 10° S y cálida a mayores latitudes, con mayores anomalías positivas frente de la costa de Chile, al sur de los 35° S (Figura 11b).

En la región Niño 1+2 las anomalías semanales continuaron negativas, excepto la última semana de enero (+0.1 °C), como influencia de las anomalías positivas en zonas cercanas a costa Sudamericana (Figura 12).

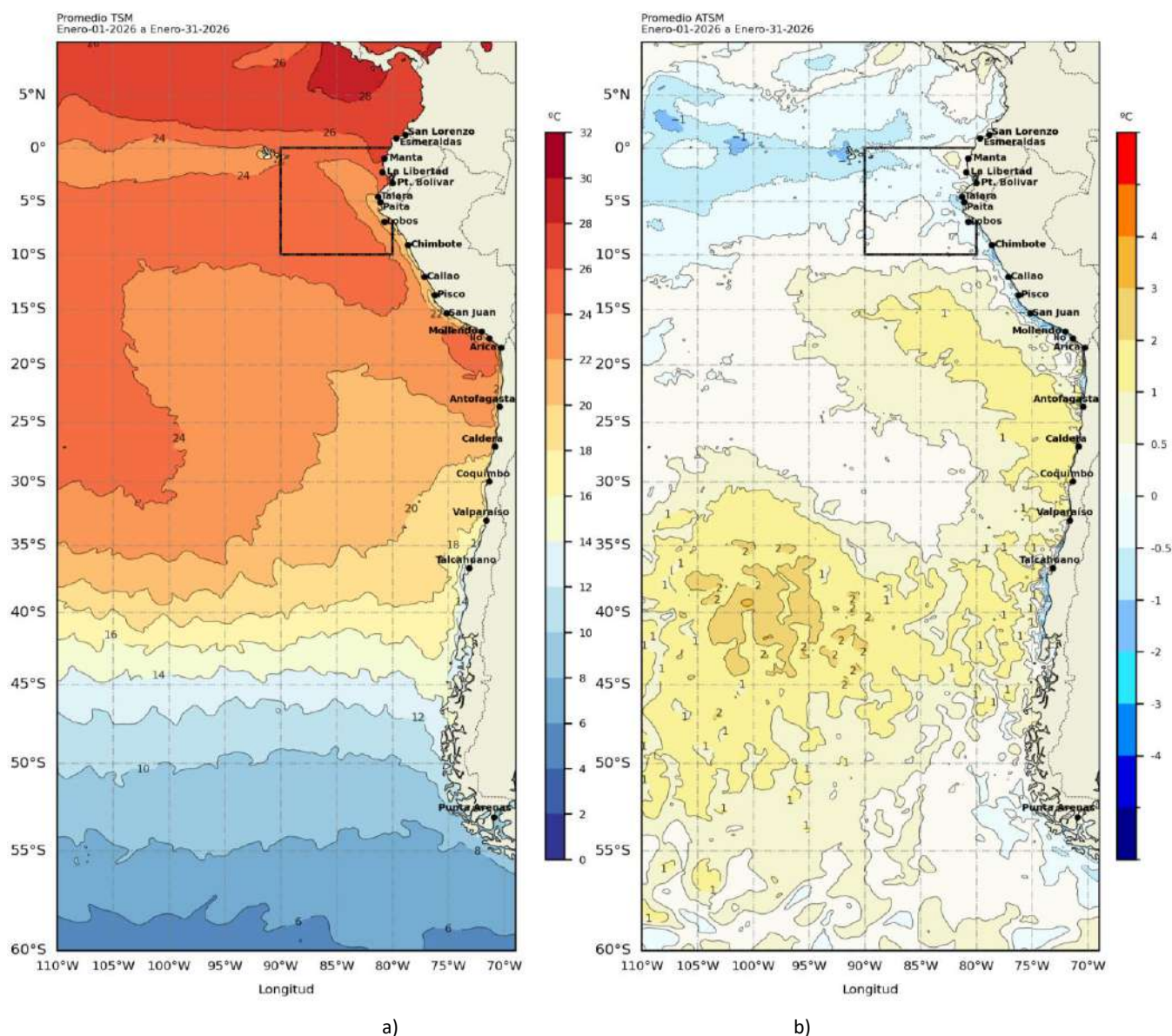


Figura 11. a) Mapa de TSM en la región de enero de 2026, b) Mapa de la ATSM en la región de enero 2026 frente a la costa oeste de Sudamérica (Climatología 2007-2020). Fuente: OSTIA.



Figura 12. Anomalías semanales de la temperatura superficial del mar en Niño 1+2, de los último ocho meses. Fuente OISST.

En el litoral, la temperatura mensual fue mayor a 26°C al norte de Puerto Bolívar (Ecuador), con valores mayores respecto al mes anterior. En el norte y parte centro de Perú, así también, entre Arica y Coquimbo (Chile) se desarrolló un rápido incremento de temperatura; sin embargo, se mantuvieron dentro de un escenario ligeramente frío y normal, respectivamente (Figura 13a y 13b).

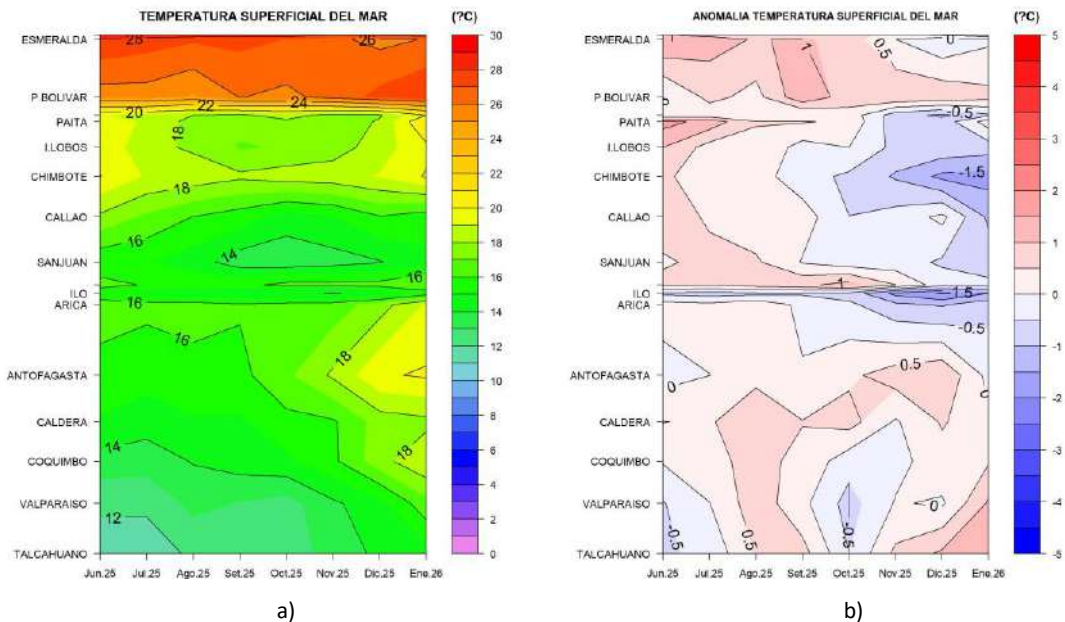


Figura 13. a) Hovmöller de la TSM de las estaciones en el litoral de Ecuador, Perú y Chile b) Hovmöller de la ATSM de las estaciones en el litoral de Ecuador, Perú y Chile (Climatología 1991-2020). Fuente: INOCAR-Ecuador, DHN-Perú, SHOA-Chile.

Frente de Ecuador y norte de Perú (boyas 1 y 2) la capa de mezcla fue muy somera, mostrándose una termoclina superficial; sin embargo, las condiciones frías continuaron. Frente de la costa centro de Perú y norte de Chile (boyas 3, 5, 5, 6 y 7) la termoclina aumentó de gradiente, favoreciendo la presencia de una capa cálida en los primeros 50 m de profundidad. Frente de Caldera (boya 8) la temperatura aumentó cerca de 1°C dentro de los primeros 30 m de profundidad, manteniéndose el calentamiento desde la superficie hasta los 150 m, con anomalías de hasta +3°C; por otro lado, frente de Talcahuano (boya 9), la temperatura aumentó en las primeras semanas del mes, manifestando un calentamiento dentro de los 100 m de profundidad, para luego disminuir y desarrollar un escenario normal con algunos núcleos de anomalías positivas en los primeros 20 m (Figura 14 y Figura 15).

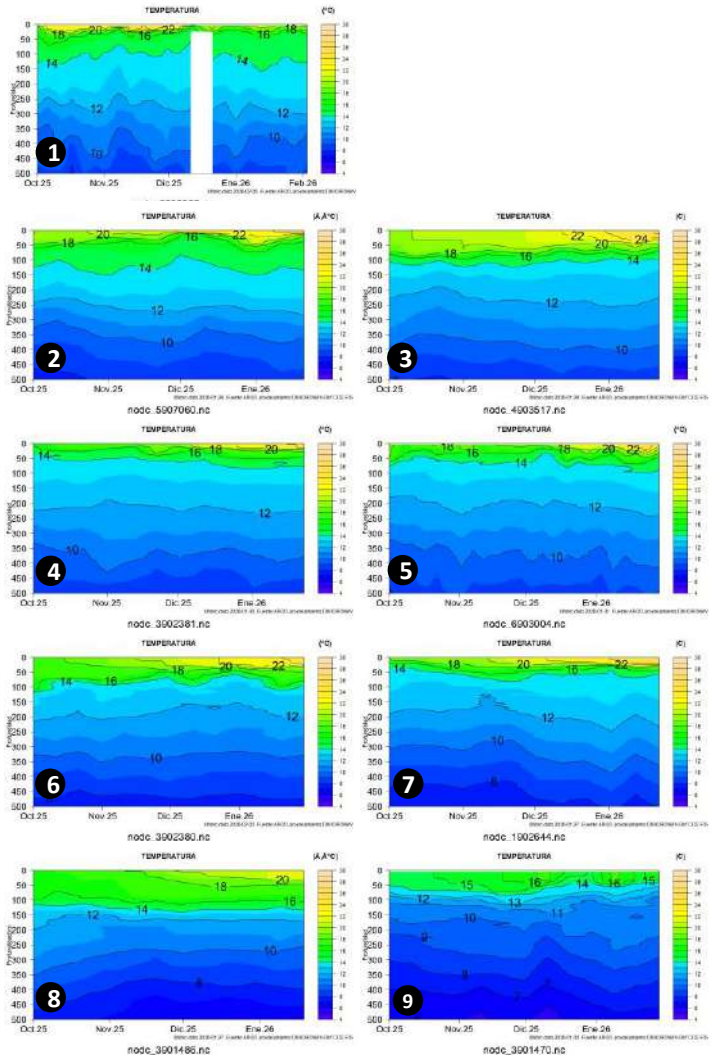
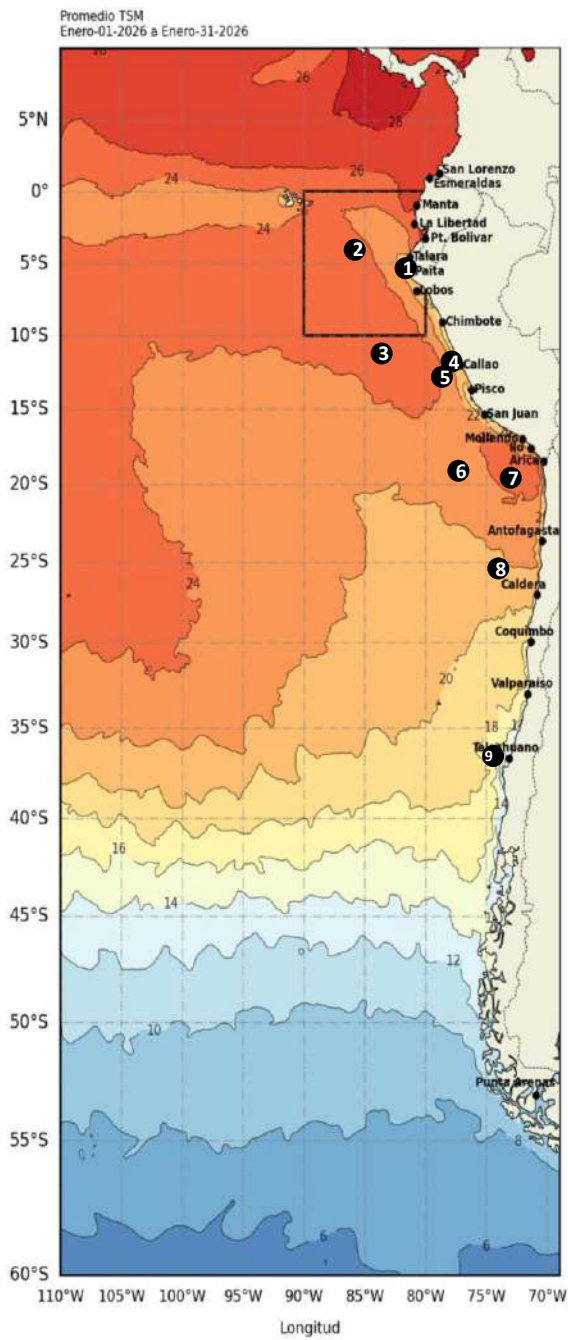


Figura 14. Temperatura sub superficial frente a la costa oeste de Sudamérica, de octubre 2025 a enero 2026. Fuente: Boyas ARGO.

Promedio ATSM
Enero-01-2026 a Enero-31-2026

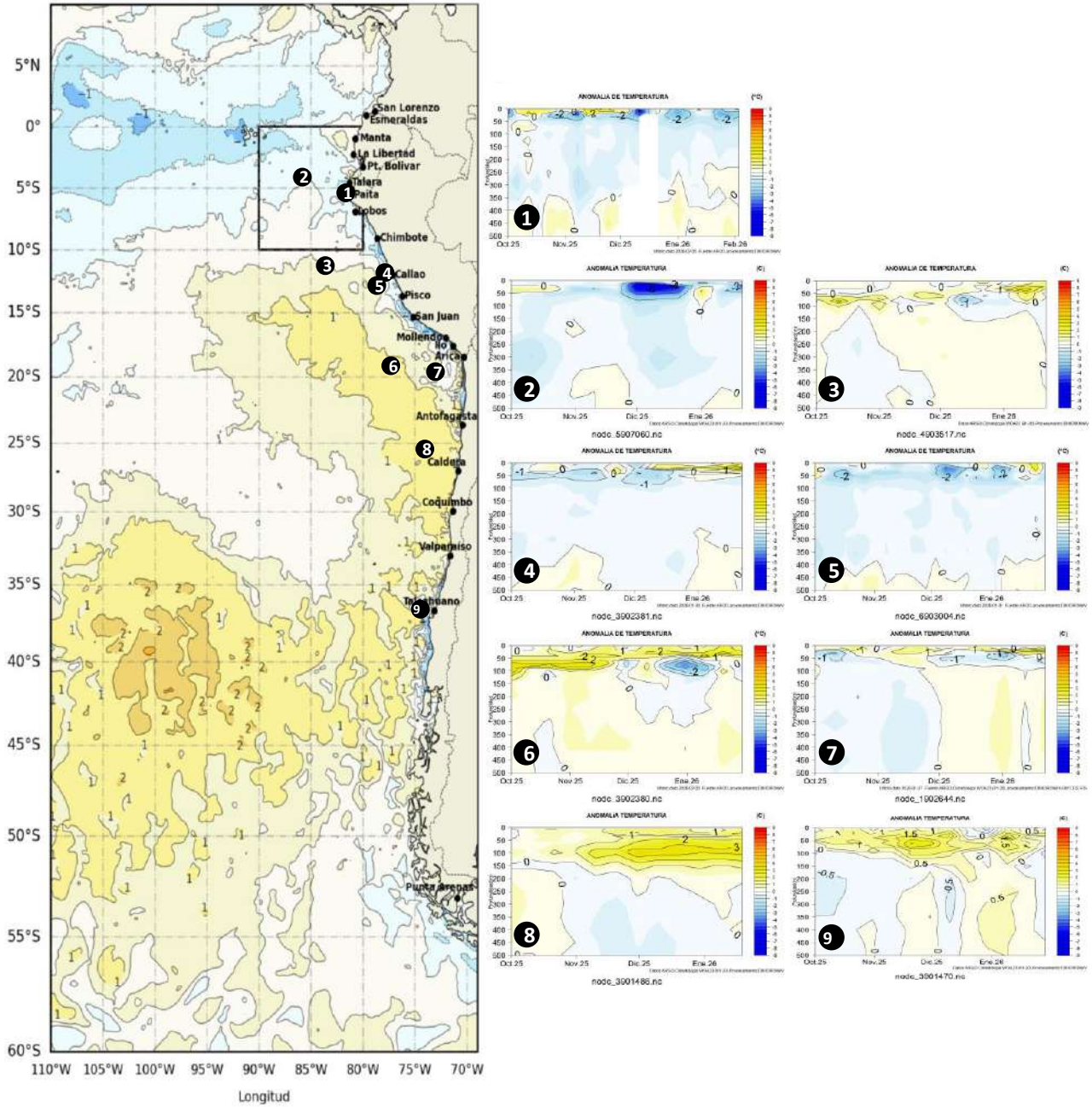


Figura 15. Anomalías de temperatura sub superficial frente a la costa oeste de Sudamérica, de octubre 2025 a enero 2026. Climatología 1991-2020. Fuente: Boyas ARGO.

1.3.4. SALINIDAD DEL MAR

Salinidades menores de 33.8 psu se distribuyeron en latitudes positivas, asociado a aguas tropicales superficiales (ATS); mientras que, concentraciones mayores se ubicaron en el norte de Perú, indicando la presencia de aguas ecuatoriales superficiales (AES) hasta los 20 m de profundidad, en promedio, cerca de la costa. Entre 08° S y 24° S la salinidad fue superior de 35.1 psu de forma oceánica y con alcance vertical de hasta 100 m, correspondiendo a aguas subtropicales superficiales (ASS); cerca de costa de Perú y norte de Chile la salinidad se ubicó entre 34.9 psu y 35.1 psu, por dentro de las 50 millas, relacionado a aguas de mezcla entre las ASS y ACF; y en el centro y sur de Chile fue menor de 34.6 ups, con alcance de 100 m de profundidad, asociado a aguas Sub-Antárticas (Figura 16). Sábado - domingo. Jimena.

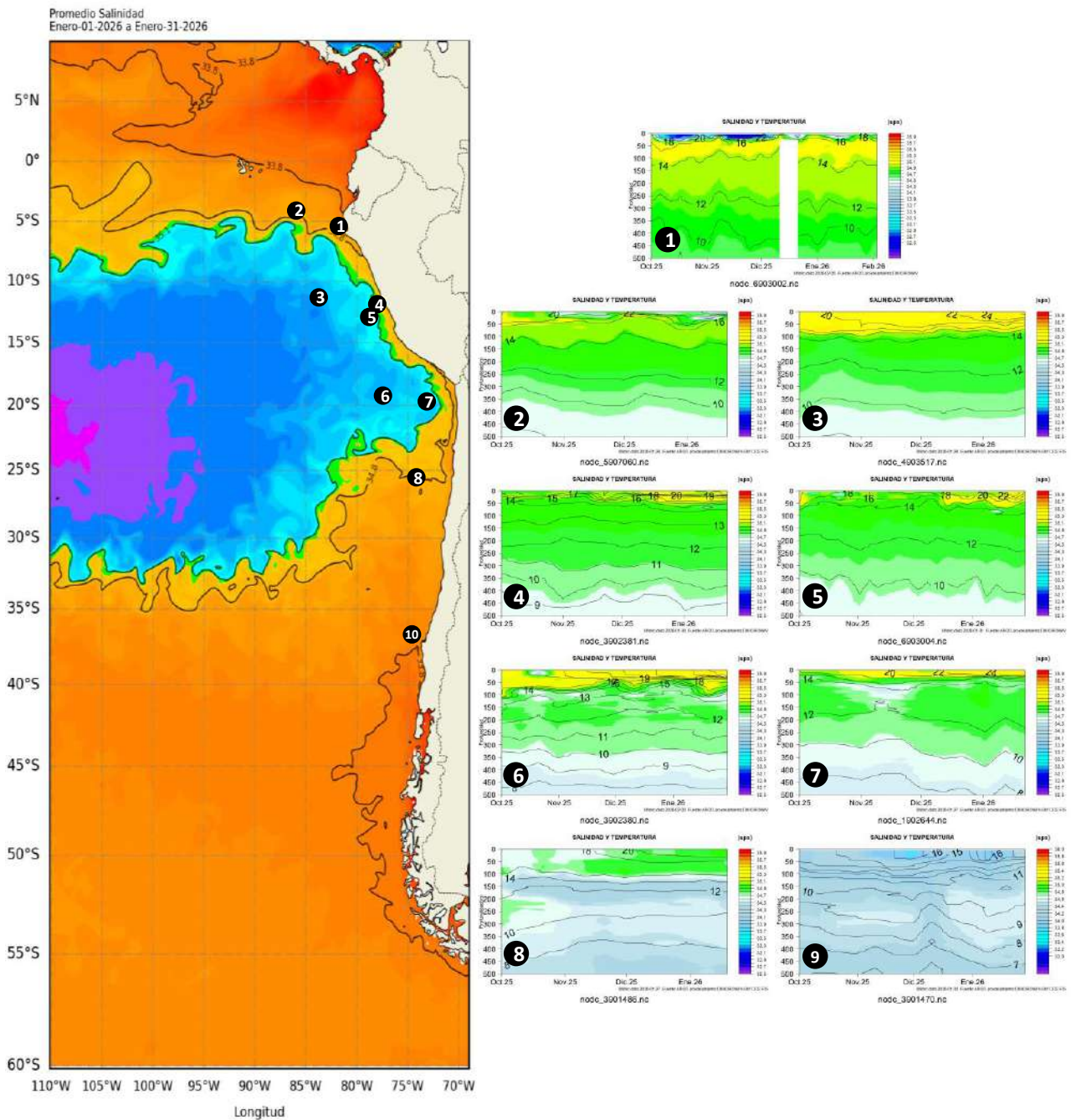


Figura 16. Carta de salinidad superficial del mar de enero 2026 frente a la costa oeste de Sudamérica, y Salinidad (shape) vs temperatura sub superficial (contorno) de octubre 2025 a enero 2026. Fuente: MERCATOR/ARGO.

1.3.5. NIVEL DEL MAR

Dentro de las 60 millas de costa, el nivel del mar (NM) disminuyó en las primeras semanas de enero, para luego aumentar, lo que se asocia al paso de ondas Kelvin frías y cálidas respectivamente. En el litoral, las anomalías positivas fueron mayores respecto al mes anterior, en latitudes negativas; en tanto que, en latitudes positivas fueron ligeramente menores (Figura 17b).

En las Islas Galápagos el NM fluctuó alrededor del nivel medio, al norte del archipiélago (I. Baltra); mientras que, hacia el sur del mismo archipiélago (P. Santa Cruz) la anomalía positiva aumentó alcanzando los mayores valores para la última semana del enero 2026 (Figura 17c y 17d).

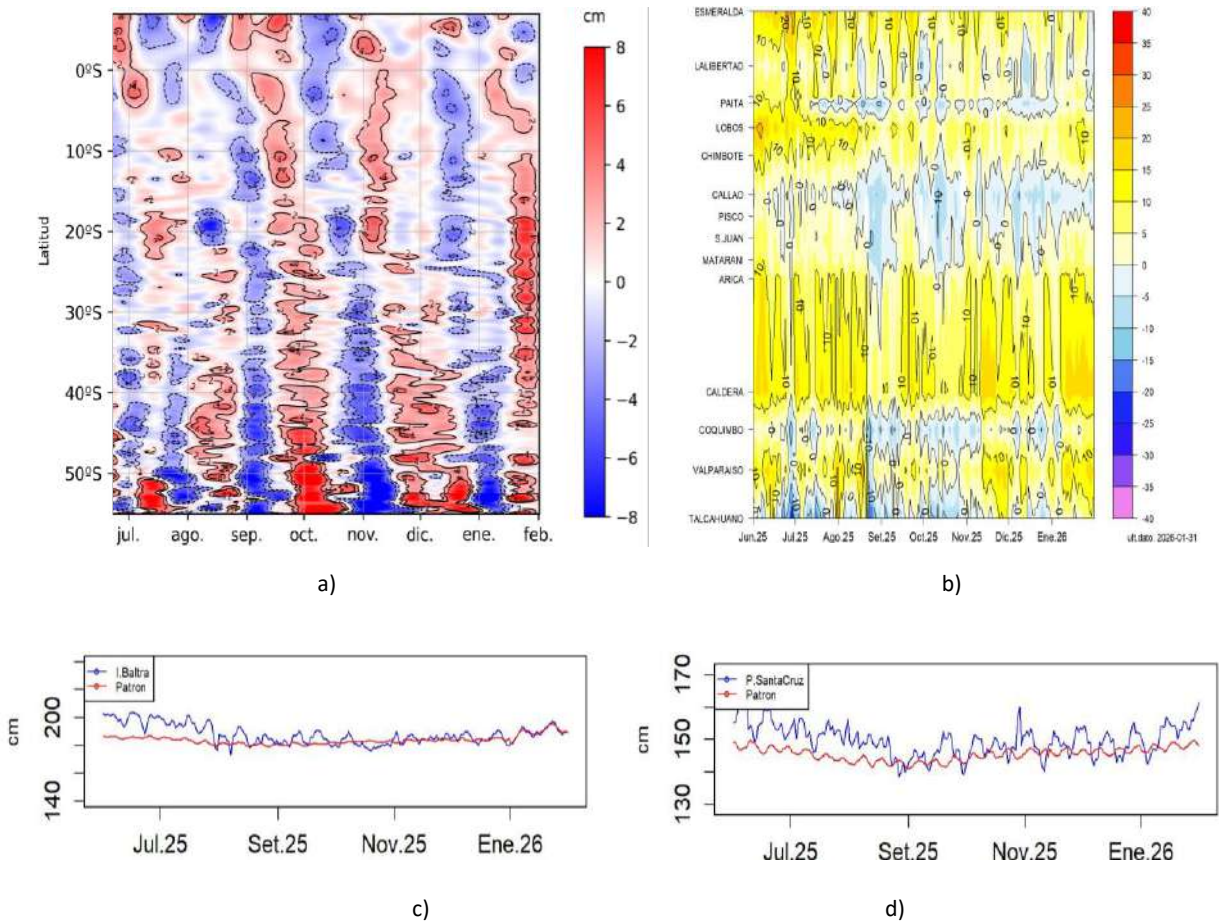


Figura 17. a) Anomalía del nivel del mar promedio de la costa hasta las 60 millas (filtro pasa banda de 10-60 días), b) Anomalía del nivel del mar diario de las estaciones del litoral de la región (Ecuador, Perú y Chile), c) Nivel del mar de Isla Baltra, Galápagos y d) Nivel del mar de Isla Santa Cruz, Galápagos. Periodo de junio 2025 a enero 2026. Fuente: INOCAR-Ecuador, DIHIDRONAV-Perú y SHOA-Chile. Satelital: Duacs.

1.3.6. TEMPERATURA DEL AIRE

Se presentaron valores de temperatura de aire en el rango de 26°C a 24°C en Ecuador, en el rango de 24°C a 20°C en Perú, en el rango de 20°C a 12°C en Chile, destacando la tendencia de incremento de temperatura en este país, a excepción de la zona entre Santiago y Concepción, donde se mantienen rangos de temperatura de 22°C a 20°C desde el mes de noviembre (Figura 18a). En relación a las anomalías de temperatura del aire, se evidencia la tendencia de incremento con el fortalecimiento de anomalías de hasta 2°C en Chile (Figura 18b).

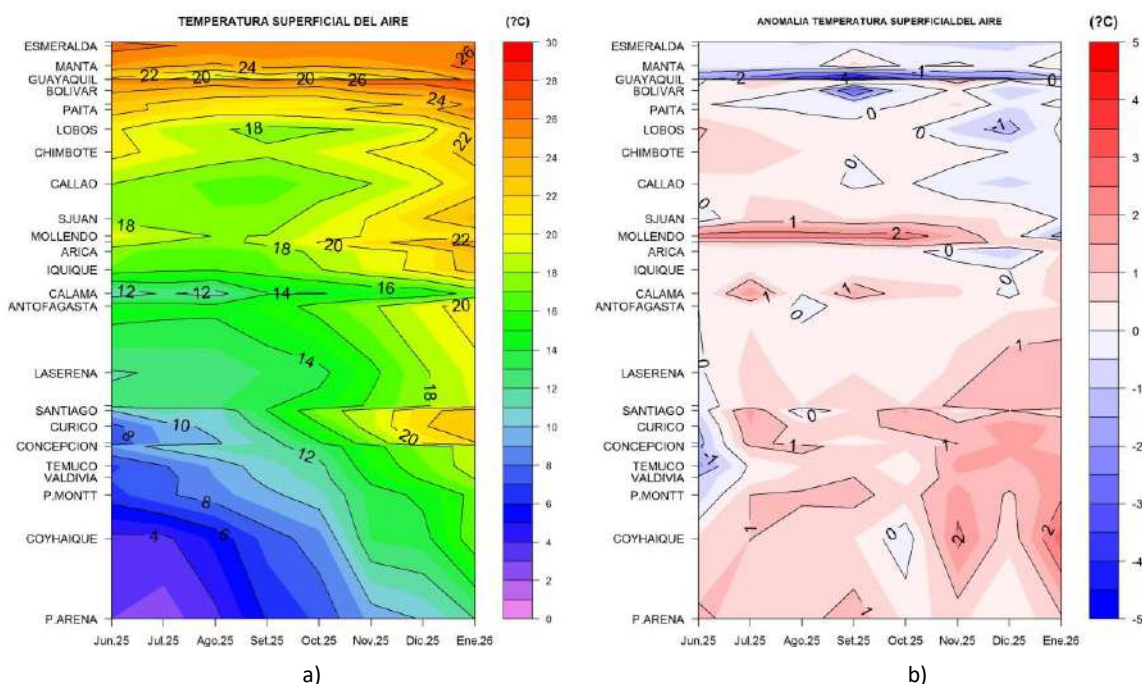


Figura 18. Hovmöller de a) temperatura del aire y b) anomalía de la temperatura del aire en las estaciones en el litoral de Ecuador, Perú y Chile, periodo junio 2025 - enero 2026. Climatología 1991-2020. Fuente: INOCAR-Ecuador, DIHIDRONAV-Perú, SHOA-Chile.

II. MODELOS NUMÉRICOS DE PRONÓSTICO CLIMÁTICO

Los modelos de diferentes agencias internacionales, en promedio muestran una condición de transición de fría a normal en el Pacífico ecuatorial central y de normal a ligeramente cálido en el oriental, para el trimestre febrero-marzo-abril; a pesar de todavía las anomalías negativas de temperatura continúan. Para el trimestre mayo-junio-julio se desarrollaría un escenario cálido en toda la región del Pacífico ecuatorial, con anomalías de temperatura mayores de +1.0 °C al este de los 140° W; este escenario cálido se extendería frente de la costa sudamericana, con mayores anomalías entre Colombia y Perú (Figura 19a, 19b).

Respecto a la precipitación, los modelos indican procesos convectivos de sobre lo normal sobre Colombia y sierra norte de Chile en febrero; mientras que, déficit de lluvias en la región ecuatorial, esperando condición normal en Ecuador, Perú y Chile. Para marzo y abril de 2026 se mantendrían precipitaciones sobre lo normal sobre la costa de Ecuador, costa sur de Perú y sierra norte de Chile; mientras que, lluvias alrededor de lo normal sobre el resto de la región (Figura 19c, 20d, 20e).

La pluma de NMME para la región Niño 3.4 indica condición límite entre neutra y fría del ENOS en enero, esperando una tendencia positiva hasta condición neutra (ONI) desde febrero hasta abril, para luego pasar a condición cálida desde mayo hasta septiembre de 2026 (Figura 19f).

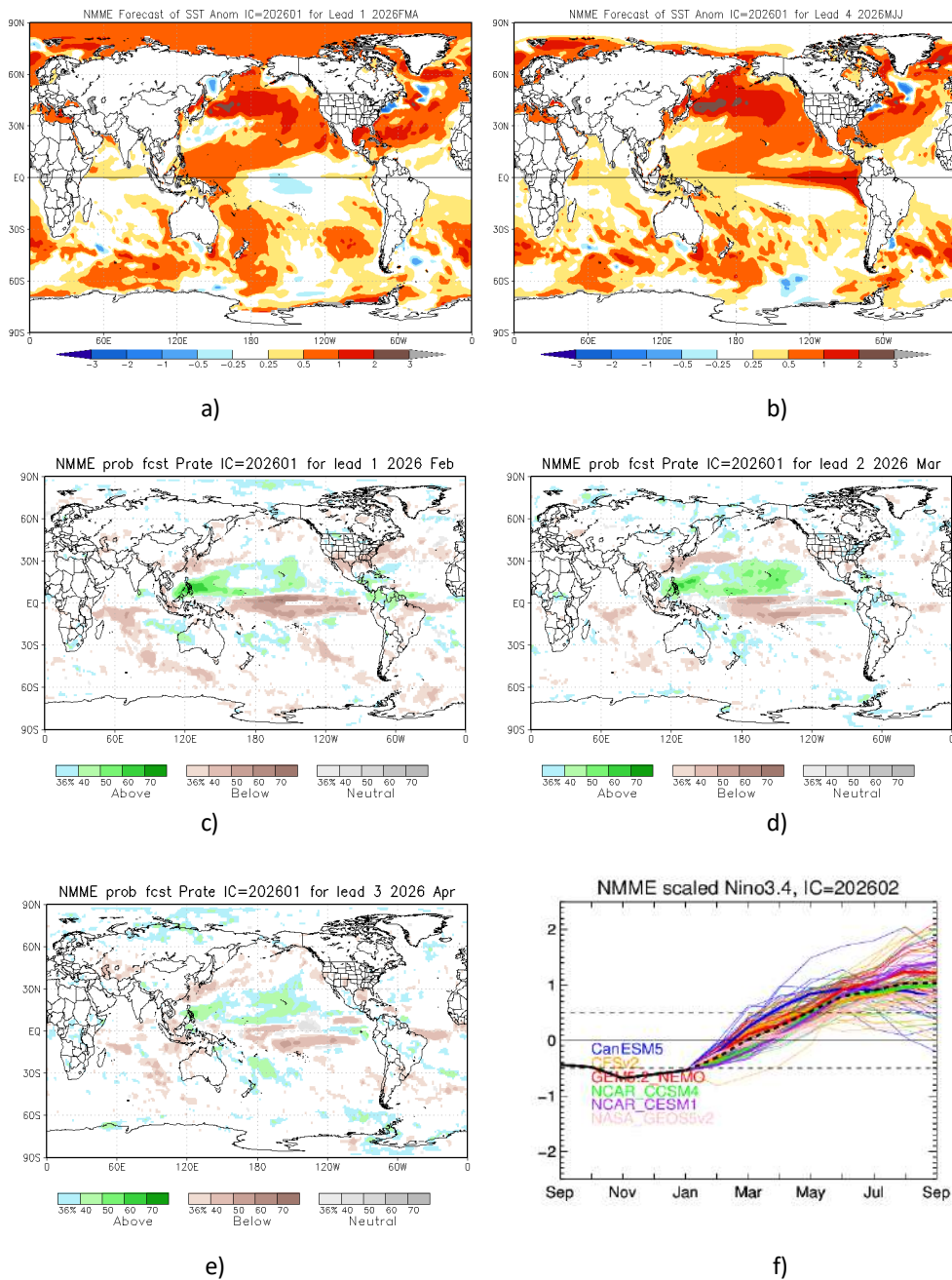


Figura 19. Mapa pronóstico para a) trimestre FMA de ATSM, b) trimestre MJJ de ATSM, c) precipitación de febrero 2026, d) precipitación de marzo 2026, e) precipitación de abril 2026 y f) plumas de modelos del NMME para la región Niño 3.4. Fuente: NMME.

El pronóstico de la Oscilación de Madden-Julian (MJO) para el período comprendido entre comienzos de febrero y el 02 de marzo de 2026 indica una señal mayormente débil o inactiva, con amplitudes cercanas al centro del diagrama durante gran parte del horizonte de pronóstico (Figura 20).

Para Perú, según el análisis de pronósticos de anomalías de radiación en onda larga (OLR) de los componentes principales de la MJO, se esperaría condiciones favorables para la ocurrencia de precipitaciones en el lado occidental de la cordillera del país. Para Chile, la proyección de la MJO implica que no exista una modulación intraestacional por parte de este modo de variabilidad climática (Figura 20).

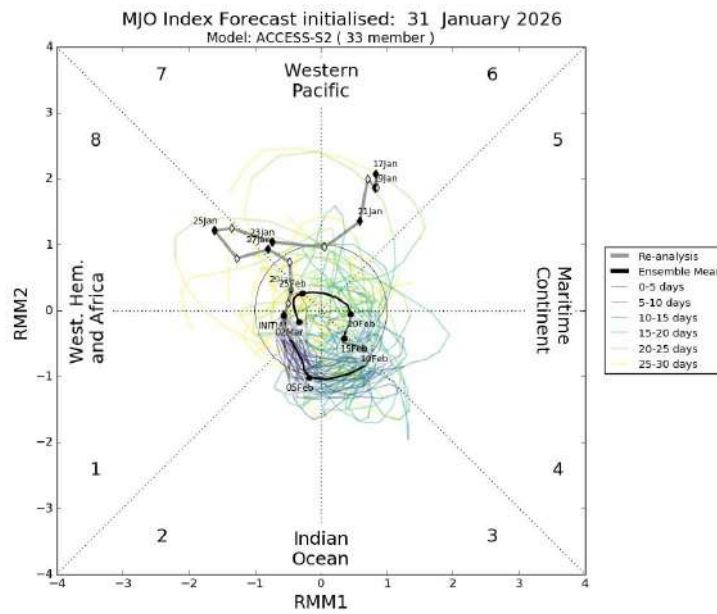


Figura 20. Diagrama de fases de la Oscilación de Madden–Julian (MJO) basado en el índice RMM, inicializado el 31 de enero de 2026. Se muestra el análisis (reanálisis) y el pronóstico por conjuntos hasta 30 días, indicando la evolución prevista de la MJO y su amplitud. Fuente: Pronóstico MJO modelo ACCESS-S2, Bureau of Meteorology (BoM), Australia.

III. PERSPECTIVAS CLIMÁTICAS

Se espera que para los próximos dos meses en el Pacífico central (región Niño 3.4) la temperatura superficial oscile con valores de normal a superior de lo normal, manteniéndose en la fase neutra del ENOS.

Se espera que en la región del Pacífico Sudeste la temperatura aumente, con anomalías promedio de 1°C a 2°C.

Pronóstico Climático Trimestral (febrero 2026 – abril 2026)

3.1. Colombia

Se prevé precipitación con un comportamiento variable, con predominio de condiciones cercanas o por debajo de los promedios climatológicos en amplias zonas del país. Se proyectan déficits en la región Caribe, sectores de la Pacífica y gran parte de la Amazonía; no obstante, durante marzo se destaca un comportamiento más húmedo en amplias áreas, especialmente en la región Andina, la Orinoquía y sectores de la región Pacífico. En el archipiélago de San Andrés y Providencia se esperan variaciones leves, cercanas a los valores climatológicos de referencia.

Se prevé que la temperatura media del aire se mantendría cercana al promedio climatológico de febrero; mientras que, en marzo se estiman aumentos leves, inferiores a 1 °C en sectores del oriente de la Orinoquía y el centro de la Amazonía.

3.2. Ecuador

Se prevé precipitación normal en el perfil costero y de sobre lo normal en el interior de la región costera; para marzo esta tendencia se mantendría, normal en el litoral y muy superiores de lo normal en el interior, aunque con sectores puntuales por debajo de lo normal hacia el norte del perfil costero. En la región Interandina precipitación normal, con sectores puntuales sobre lo normal y persistencia de déficit moderado en la zona centro; para marzo con una tendencia similar, con lluvia normal en gran parte de la región, ligeros excedentes en el norte y déficit en la zona centro-sur. En la región Amazónica, se prevé un incremento en la intensidad de las lluvias en las estribaciones de cordillera, con valores sobre lo normal, mientras en la llanura amazónica precipitación de normal a inferior; en marzo, las estribaciones presentarán valores muy superiores a lo normal, especialmente hacia el sur; mientras que, la llanura se mantendría de normal a por debajo de lo normal.

3.3. Perú

Se prevén precipitación de normal a superior en la costa, sin descartar eventos puntuales de lluvia de moderada intensidad en la costa norte; asimismo, en la sierra, entre normal a superior, con mayor probabilidad de acumulados superiores en la sierra centro y sur occidental. En la selva, se esperan lluvias superiores de lo normal en el norte.

Se prevén temperaturas mínimas con valores superiores de lo normal en la costa y la selva; mientras que, en la sierra normal; y temperaturas máximas dentro del rango normal, pero con tendencia a superior en la costa norte, sierra norte occidental, sierra sur oriental, y la Amazonía.

3.4. Chile

Se prevé precipitación de condición mixta Normal / Bajo lo Normal en n Quillota, Valparaíso - Punta Ángeles y Santiago - Quinta Normal. Asimismo, condición mixta de Normal / Sobre lo Normal en Santo Domingo, Talca, Cauquenes, Concepción, Los Ángeles, Temuco, y entre Quellón y Balmaceda. Las ciudades de Putre, Colchane, Camiña, Toconce, Los Andes, Rodelillo, entre Melipilla y Curicó, Chillán Ad., entre Villarrica y Puerto Montt, Punta Arenas y Puerto Williams tendrían pronóstico indefinido. En las ciudades de Arica, Iquique, y entre Calama y La Ligua se prevé se mantenga estación seca.

Se prevé temperaturas mínimas Sobre lo Normal entre Putre e Illapel, Valparaíso, Santiago- Pudahuel, Santo Domingo, Concepción, Puerto Saavedra y Punta Arenas. En cambio, condición Bajo lo Normal en La Cruz, Pirque, Diguillin, Temuco, Valdivia y Coyhaique Alto. Se prevé condición mixta de Normal / Sobre lo Normal en Balmaceda, y Normal / Bajo lo Normal en Quillota. En Rodelillo, Santiago – Quinta Normal, Melipilla, Curicó, Chillán, Pucón, entre Osorno y Puerto Aysén, Puerto Natales y Puerto Williams se prevé categoría indefinida. Las temperaturas máximas Sobre lo Normal en Ovalle, La Cruz, Quillota, Valparaíso, Santiago- Pudahuel, Santiago- Quinta Normal, entre Pirque y Futaleufú, y entre Balmaceda y Puerto Williams. En Copiapó, Rodelillo, Santo Domingo y Coyhaique Alto el pronóstico es indefinido. Condición doble Normal / Sobre lo Normal en Iquique, Illapel y Puerto Aysén; mientras que, Normal / Bajo lo Normal en Putre.

INFORMACIÓN SOBRE EL BOLETÍN DE ALERTA CLIMÁTICO DE LA CPPS (BAC)

El Boletín de Alerta Climático (BAC) es una publicación mensual de la CPPS en coordinación con instituciones gubernamentales de Colombia, Ecuador, Perú y Chile, donde se analizan las condiciones oceánicas y atmosféricas de la región del Pacífico Sudeste dentro del Estudio Regional del Fenómeno El Niño (ERFEN). La versión digital del BAC está disponible a partir del 10 de cada mes en las páginas web de la CPPS: <http://www.cpps-int.org>

Las sugerencias, comentarios o información científica serán bienvenidas al correo electrónico: dircient@cpps-int.org, o mediante comunicación escrita dirigida a la sede de la Comisión Permanente del Pacífico Sur, Secretaría General, Av. Francisco de Orellana y Miguel H. Alcívar, Edificio "Las Cámaras", Torre B, Planta baja; 593-4-3714390; sgeneral@cpps-int.org; Guayaquil, Ecuador.

Los correos de las instituciones aportantes en la elaboración del presente Boletín, se listan a continuación:

INSTITUCIÓN	Dirección electrónica
DIMAR/CCCP-Centro de Investigaciones Oceanográficas e Hidrográficas del Pacífico (Colombia).	c CCP@dimar.mil.co
IDEAM -Instituto de Hidrología, Meteorología y Estudios Ambientales (Colombia).	meteorologia@ideam.gov.co
INOCAR - Instituto Oceanográfico de la Armada (Ecuador). INAMHI- (Instituto Nacional de Meteorología e Hidrología)	inocar@inocar.mil.ec agroclima@inamhi.gob.ec
DIHIDRONAV - Dirección de Hidrografía y Navegación (Perú). SENAMHI – Servicio Nacional de Meteorología e Hidrología del Perú (Perú)	oceanografia@dhn.mil.pe clima@senamhi.gob.pe
SHOA –Servicio Hidrográfico y Oceanográfico de la Armada (Chile).	shoa@shoa.cl
DMC - Dirección de Meteorología (Chile).	metapli@meteochile.cl

Cite este boletín como: Comité Regional ERFEN, 2026 BOLETÍN de Alerta Climática; BAC Nro. 424 Comisión Permanente del Pacífico Sur. <http://cpps-int.org/index.php/nodo-de-conocimiento/nodo-oceano/bac>

PARTICIPARON EN LA ELABORACIÓN DE ESTE BOLETÍN

COLOMBIA

CCCP: Sra. Laura Marcela Vásquez López
Sr. Joao Camilo Quijano Ferrín

IDEAM: Sra. Jeimmy Yanelly Melo Franco
Sr. José Franklyn Ruiz Murcia

ECUADOR

INOCAR: Sra. Leonor Vera San Martín
Sr. Jorge Nath Nieto
Srta. Jacqueline Rivas
Sra. Sandra Torres
Sr. David Galarza
Sr. Alejandro Erazo

PERÚ

DIHIDRONAV: Sra. Rina Gabriel Valverde
Sr. Alfredo Alvarado
Sra. Rosario Deza Cueva

Colaboradores: Sr. Renzo Adrianzén Pereyra
Sr. Roberto Chauca Hoyos

CHILE

SHOA: Sr. Julio Castro Barraza
Sra. Mónica Alvarado N.
Sra. Carmina González H.

DMC: Sra. Claudia Cruz
Sra. Elizabeth Lobos
Sra. Catalina Medina

EDICIÓN REGIONAL

Dirección de Hidrografía y Navegación – PERÚ Sr. Marco Bartens.....
Sra. Rina Gabriel Valverde
Sra. Rosario Deza Cueva

COORDINACIÓN EDICIÓN GENERAL REGIONAL

Embajador María Elvira Velásquez Rivas Plata
Secretaría General de la CPPS

Sr. Edwin Pinto Uscocovich
Director de Asuntos Científicos y Recursos Pesqueros de la CPPS

Sra. Miriam Lucero Muñoz
Asesora Técnica de la Dirección de Asuntos Científicos y Recursos Pesqueros de la CPPS